

модуляции, регистрируемый фотоприемником, существенным образом зависит от апертуры и положения детектора или световода в поле излучения. При этом от одного и того же лазера, работающего в заданном режиме модуляции, можно получить синфазную, нулевую и противофазную модуляцию интенсивности.

Авторы считают своим приятным долгом выразить глубокую благодарность Л.А. Мельникову за помощь, оказанную при проведении экспериментов.

### Л и т е р а т у р а

- [1] В у Ван Лы к, а Ка лшабек ов А.С., Манько М.А., Микаелян Г.Т., Соколов С.Н. - Квантовая электроника, 1981, т. 8, с. 2697-2699.
- [2] Р ен дель Ю.С. - Радиотехника и электроника, 1978, т. 23, № 4, с. 793-797.
- [3] Манько М.А., Микаелян Г.Т. - Тр. ФИАН, 1986, т. 166, с. 126-154.
- [4] Елисеев П.Г., Манько М.А., Микаелян Г.Т. - Тр. ФИАН, 1983, т. 141, с. 119-125.
- [5] А с бе ск Р.М., С аммаск Д.А., D a n i e l e J.J. - Appl. Phys. Lett., 1978, v. 33, p.504-506.
- [6] B a u s J., S t u b k j a e r K. - Solid-State and Electron Devices, 1979, v. 3, N 6, p. 210-214.

Саратовский государственный  
университет им. Н.Г. Чернышевского

Поступило в Редакцию  
13 апреля 1987 г.

Письма в ЖТФ, том 14, вып. 4

26 февраля 1988 г.

### САМОПОДДЕРЖИВАЮЩИЕСЯ СТРУКТУРЫ НА РАСПЫЛЯЕМЫХ ПОВЕРХНОСТЯХ

В.А. К у ро чки на, А.И. М оро зов

В [1] авторами рассмотрена в общем виде задача об эволюции поверхности под действием ионной бомбардировки. Если ввести декартовы координаты и пучок считать падающим под углом  $\omega$  к оси  $z$ , то эволюция поверхности будет описываться уравнением [1, 2] (см. рис. 1)

$$\frac{\partial z}{\partial t} = -S_0 \frac{\cos(\omega-\beta)}{\cos \beta} \phi(\omega-\beta) \equiv F(\varphi). \quad (1)$$

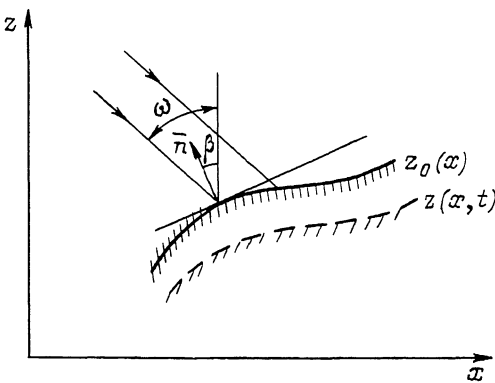


Рис. 1.

Здесь  $q = \frac{\partial z}{\partial x} = tg\beta$ ,  $\alpha \equiv (\omega - \beta)$ ,  $\Phi(\omega)$  — угловая зависимость коэффициента распыления  $S$  от угла падения  $\alpha$ ,

$$S = S_0 \Phi(\alpha). \quad (2)$$

В [1] приведено общее решение уравнения (1), описывающее эволюцию первичного профиля  $z_0(x)$ . Оно имеет вид

$$x = x_0 + \frac{\partial F}{\partial q} t,$$

$$z = z_0(x_0) + \left( q \frac{\partial F}{\partial q} - F \right) t, \quad (3)$$

$$q = \frac{\partial}{\partial x} \{ z_0(x_0) \}, \quad x_0 = x - \frac{\partial F}{\partial q} t.$$

Отсюда видно, что можно говорить о перемещении точек начальной поверхности и ввести характеристическую скорость этих точек с компонентами:

$$v_x = \frac{\partial F}{\partial q}, \quad v_z = q \frac{\partial F}{\partial q} - F. \quad (4)$$

Очевидно, что профиль поверхности будет сохраняться, если все ее точки будут двигаться с одной и той же скоростью  $v$ . Это может быть строго выполнено только в двух случаях: когда  $F(q)$  не зависит от  $q$ , т.е.  $F(q)=const$ , либо когда поверхность является плоскостью.

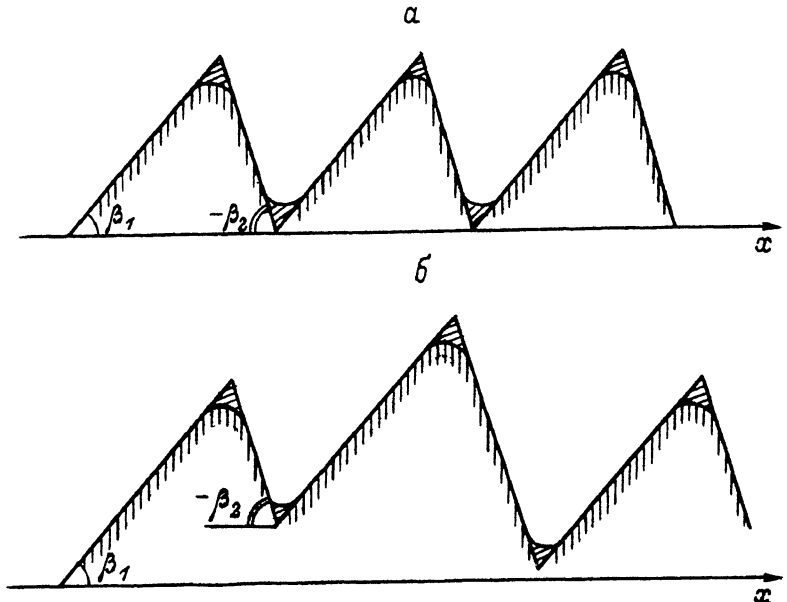


Рис. 2.

Однако, если существует несколько значений  $\beta_k$ , где  $1 \leq k < n$  (или, что тоже  $\beta_k$ ), при которых система (4) дает одно и тоже значение характеристической скорости, то можно строить профили из отрезков прямых<sup>1</sup>, наклоненных под углами  $\beta_k$  и тем самым (с точностью до угловых точек) получать самовоспроизводящиеся профили.

На рис. 2 изображены примеры профилей для случая, когда существует два значения  $\beta_1$  и  $\beta_2$  с одинаковыми характеристическими скоростями. На рис. 2,а изображен периодический профиль, а на рис. 2,б – непериодический. Здесь же штриховыми линиями изображены „зоны сопряжения“ прямых. В этих зонах значение  $\beta$  изменяется в пределах

$$\beta_1 \leq \beta \leq \beta_2, \quad (5)$$

поэтому эволюция поверхности здесь будет идти с другими характеристическими скоростями, чем на прямых участках, что приведет к возникновению локальных „дефектов“.

В данной статье мы продолжим исследование самовоспроизводящихся профилей.

<sup>1</sup> Ниже мы будем говорить только о проекции поверхности на плоскость ( $x, z$ ).

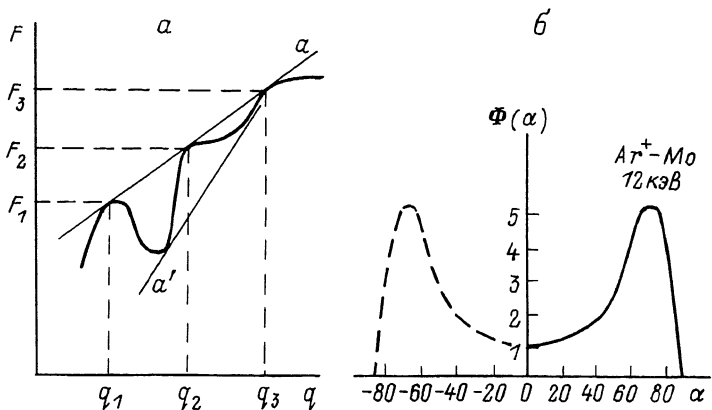


Рис. 3.

### 1. „Правило касательной”

Пусть в точках  $q_K$  характеристические скорости одинаковые. Тогда условие равенства  $x$ -компонент этой скорости будет условием равенства углов наклона касательной к функции  $F(q)$ :

$$\left(\frac{\partial F}{\partial q}\right)_1 = \left(\frac{\partial F}{\partial q}\right)_2 = \dots = \left(\frac{\partial F}{\partial q}\right)_n \equiv v_x. \quad (6)$$

При выполнении условия (6) равенство  $\dot{z}$  — компоненты характеристической скорости имеет вид:

$$(qv_x - F)_1 = (qv_x - F)_2 = \dots = (qv_x - F)_n. \quad (7)$$

А это означает (рис. 3, а), что все значения  $q_K$ , которым соответствует одна и та же характеристическая скорость, являются координатами тех точек  $F_K$  на кривой  $F(q)$ , которые лежат на одной прямой  $\alpha$ , касательной во всех этих точках к  $F(q)$ . Этот геометрический критерий, эквивалентный условиям (6) и (7), мы будем называть „правилом касательной”.

Если предположить, что  $F(q)$  является „хорошей” функцией в точках касания  $(q_K, F_K)$ , то ее аналитическая структура будет иметь вид:

$$F = \alpha_0 + q\beta_0 + A(q)(q-q_1)^2 \cdot (q-q_2)^2 \cdots (q-q_n)^2. \quad (8)$$

Уравнение (1) написано для произвольно ориентированного падающего пучка. Если же за ось  $\dot{z}$  принять направление падающего пучка, то уравнение (1) примет вид:

$$\frac{\partial \dot{z}}{\partial t} = -S_0 \Phi(\beta). \quad (9)$$

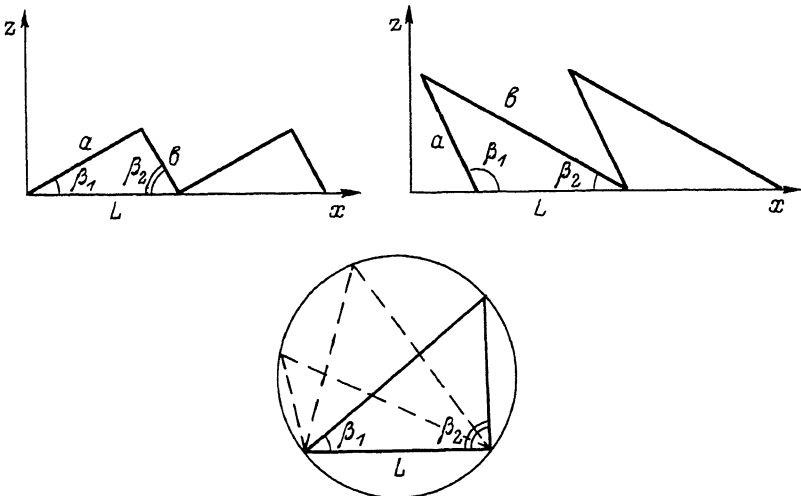


Рис. 4.

В этом случае функция  $F(q)$  с точностью до постоянного множителя и выбора аргумента совпадает с функцией угловой зависимости коэффициента распыления  $\Phi(\beta)$ .

На рис. 3, б изображена типичная зависимость  $\Phi(\beta)^2$ , используемая при дальнейших численных расчетах. Видно, что в этом случае существуют только два угла падения (при нормальном падении пучка ионов)

$$\beta_{1,2} = \pm \beta^*,$$

которые определяют наклоны прямолинейных участков поверхности, имеющих одну и ту же характеристическую скорость. В этих точках  $(\pm \beta^*, -\beta^*)$  функция  $\Phi(\beta)$  достигает максимума.

## 2. Параметры „щучьего языка”

Самовоспроизводящиеся периодические двухскатные профили мы будем называть „щучьим языком”. Их проще всего анализировать на основе уравнения (9), т.е. ось по направлению пучка. Имея плоскости с наклонами  $\pm \beta^*$ , мы можем строить различного рода периодические структуры, выбирая их геометрические размеры, согласно соотношениям (рис. 4):

$$\alpha = L \frac{\sin \beta_2}{\sin(\beta_1 + \beta_2)}, \quad \delta = L \frac{\sin \beta_1}{\sin(\beta_1 + \beta_2)}. \quad (10)$$

<sup>2</sup> Эта зависимость соответствует распылению ионами, ускоренными до 12 кэВ [3].

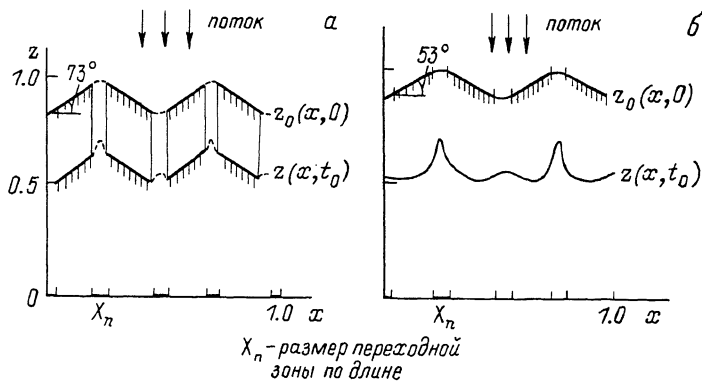


Рис. 5.

### 3. Ч и с л е н н о е м о д е л и р о в а н и е п е р и о д и ческих структур

Численное моделирование эволюции поверхности проводилось решением уравнения (1) методом характеристик [4]. Для реализации этого метода необходимо на каждом шаге по времени вычислять производную полученного профиля ( $z(x, t)$ ) в каждой точке по длине поверхности ( $x$ ). Как известно, при численных расчетах эта процедура вносит большую ошибку в расчетную схему. Чтобы снизить уровень ошибок для вычисления производных применялась схема явного тректочечного дифференцирования с малым шагом по  $x$  [4].

Рассматриваемые в этой статье исходные поверхности образованы прямыми, что упрощает расчеты и повышает их точность. Здесь нас прежде всего интересовало поведение переходов между „скатами“. На этом участке можно ввести уменьшение шага по  $x, t$  и контролировать точность расчетов по оценке эволюции точки с  $\frac{\partial \varphi}{\partial x} = t g \beta = 0$ . Точность приведенных здесь расчетов  $\sim 10^{-4}$ .

Примеры расчетов эволюции „щучьего языка“ при нормальном падении потока приведены на рис. 5.а. Для расчетов использована функция  $\Phi(\varphi)$ , представленная на рис. 3.б. При этом углы наклона прямых участков поверхности взяты в соответствии с правилом касательной и равны  $\beta_{1,2} = \pm 73^\circ$ . Из приведенных расчетов видно, что в этом случае ширины переходных зон на конечном промежутке времени не увеличиваются.

Была просчитана эволюция пилообразной поверхности, у которой наклоны отличны от  $\pm \beta^*$  ( $\beta_{1,2} = \pm 53^\circ$ ). Эти расчеты в полном соответствии с предыдущими рассуждениями показали, что наблюдается расширение переходных зон за конечный промежуток времени и наблюдается тенденция к исчезновению первоначальных структур. (рис. 5.б).

## Л и т е р а т у р а

- [1] М о р о з о в А.И. и др. - ЖТФ, № 2, 1987.
- [2] Р ы ж о в А.Ю., С т р и ж е н о в Д.С. - ДАН, 1967, т. 172, с. 1309.
- [3] Г а б о в и ч М.Д., П л е ш и в ц е в Н.В., С е м а ш к о Н.Н. Пучки ионов и атомов для УТС и технологических целей. М.: Энергоатомиздат, 1986.
- [4] К о р н Г., К о р н Т. Справочник по математике. М.: Наука, 1970.

Поступило в Редакцию  
19 ноября 1987 г.

Письма в ЖТФ, том 14, вып. 4

26 февраля 1988 г.

### ВЫСОКОВОЛЬТНЫЙ РАЗРЯД С КАТОДНЫМ ПЯТНОМ ПРИ ПОСТОЯННОМ НАПРЯЖЕНИИ НА ЭЛЕКТРОДАХ

В.А. Н и к и т и н с к и й, О.А. Б о г а т ы р е в

Катодное пятно является эффективным эмиттером электронов и позволяет получать сильноточные пучки как в импульсном [1, 2], так и в непрерывном режимах [3, 4]. Непрерывный режим отбора электронов из разряда с катодным пятном реализуется при питании разрядной камеры и высоковольтного промежутка от двух отдельных источников. В разрядной камере генерируется дуговым разрядом плазма, часть электронов которой выходит через эмиссионное отверстие малого диаметра в высоковольтный промежуток. Такая система трех электродов с двумя источниками питания позволяет существовать независимо двум областям с напряжением на электродах, отличающимся на несколько порядков. Известно, что генерация плазмы и ускорение электронного пучка в разряде с катодным пятном в импульсном режиме могут быть совмещены в диодной системе, питаемой от одного высоковольтного источника [1, 2]. Самопроизвольное разделение диодного промежутка на две области, выполняющие те же функции, что и в трехэлектродной системе, заканчивается переводом высоковольтного источника в режим короткого замыкания при заполнении разрядного промежутка плазмой.

В данной работе получен высоковольтный разряд с катодным термопятном при питании разрядной системы от одного источника постоянного напряжения. Разрядная система (рис. 1) включает молибденовый катод (1) с капиллярным каналом диаметром 0.3 мм и длиной 2 мм, через который напускается рабочий газ (аргон) и анод (2) с отверстием диаметром 8 мм, расположенный на расстоянии 22 мм от катода. В капиллярном канале поддерживается дав-